

掩码键控正交频分复用调制技术文档

掩码键控的正交频分复用调制技术思路为由磁屏蔽模块产生 OFDM 信号，由机械天线产生低频载波信号，二者在空间中相乘实现上变频产生射频信号向外辐射。如图 1 所示的传统上变频方法由于 OFDM 信号占用带宽远大于机械天线载波频率，上变频将产生频谱混叠无法通过带通滤波器滤除下边带。由此，本项目采用和差化积算法实现上变频，如图 2 所示，该方法无需带通滤波即可仅产生上边带，无频谱混叠。

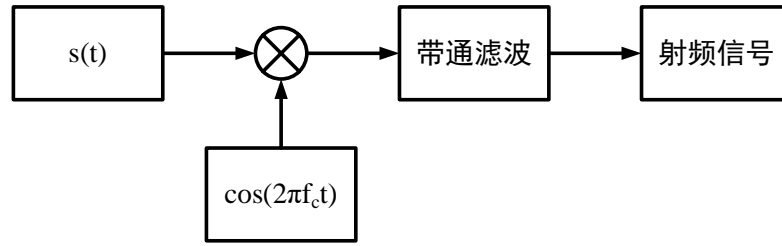


图 1 传统上变频方式

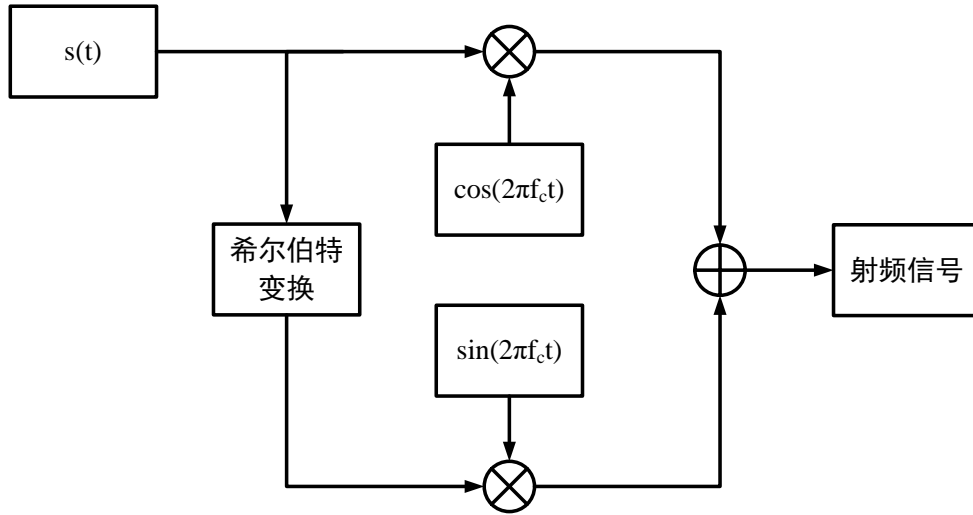


图 2 基于和差化积的上变频方式

1、机械天线实现 OFDM 的基本思想

对于一个持续时间为 T 的 OFDM 信号，其载波间隔为 $\Delta f = 1/T$ 。假设 OFDM 系统中有 N 个子信道，每个子信道采用的子载波 $x_k(t)$ 为

$$x_k(t) = B_k \cos(2\pi f_k t + \varphi_k), k = 0, 1, \dots, N-1$$

第 k 路子载波频率 f_k 满足 $f_k = f_0 + k\Delta f, k = 0, 1, \dots, N-1$ ，其中 f_0 为载波频率。在此系统中 N 路子信号之和可表示为：

$$e(t) = \sum_{k=0}^{N-1} x_k(t) = \sum_{k=0}^{N-1} B_k \cos(2\pi f_k t + \varphi_k)$$

机械天线可以借助磁屏蔽层对磁场信号的衰减产生 OFDM 信号，由于磁屏蔽层无法对磁场信号实现反向，故要求 OFDM 信号应满足 $e(t) \geq 0$ 。因此机械天线产生的 OFDM 信号应表示为：

$$e(t) = K + \sum_{k=0}^{N-1} x_k(t) = K + \sum_{k=0}^{N-1} B_k \cos(2\pi f_k t + \varphi_k)$$

机械天线在向外辐射电磁信号时，需要将高频基带信号 f_c 承载在低频载波信号上。假设低频载波信号 $c(t)$ 频率为 f_c 、初始相位为 φ_0 ，则机械天线的发送信号可以表示为：

$$s(t) = e(t) \cdot c(t) = \left[K + \sum_{k=0}^{N-1} B_k \cos(2\pi f_k t + \varphi_k) \right] \cdot \cos(2\pi f_c t + \varphi_0)$$

受到机械结构限制，旋转永磁体式机械天线可产生的载波信号频率通常在 200 Hz 以内。当机械天线在传输高速信号时，基带调制信号 $e(t)$ 占用带宽将远大于机械天线载波频率 f_c ，因此在接收端直接采用相干解调时将会产生严重的频谱混叠，导致解调信号严重畸变。

为解决上述问题，避免频谱混叠，考虑引入两路正交信号，将低频载波分量 f_c 合并到子载波频率 f_k 中。假设机械天线阵由两路独立天线组成，两路天线发送相同的二进制序列，但产生的子载波和低频载波相互正交，即两路天线产生的信号可表示为：

$$\begin{cases} s_1(t) = \left[K + \sum_{k=0}^{N-1} B_k \cos(2\pi f_k t + \varphi_k) \right] \cdot \cos(2\pi f_c t + \varphi_0) \\ s_2(t) = \left[K + \sum_{k=0}^{N-1} B_k \sin(2\pi f_k t + \varphi_k) \right] \cdot \sin(2\pi f_c t + \varphi_0) \end{cases}$$

两路信号在空间中叠加，则二元机械天线阵列辐射出的发送信号可以表示为：

$$\begin{aligned} \tilde{s}(t) &= s_1(t) + s_2(t) \\ &= \left[K + \sum_{k=0}^{N-1} B_k \cos(2\pi f_k t + \varphi_k) \right] \cdot \cos(2\pi f_c t + \varphi_0) + \left[K + \sum_{k=0}^{N-1} B_k \sin(2\pi f_k t + \varphi_k) \right] \cdot \sin(2\pi f_c t + \varphi_0) \\ &= \sum_{k=0}^{N-1} B_k \cos[2\pi(f_k - f_c)t + (\varphi_k - \varphi_0)] + K[\cos(2\pi f_c t + \varphi_0) + \sin(2\pi f_c t + \varphi_0)] \end{aligned}$$

当 OFDM 载波频率 f_0 远大于 f_c 时, 发送信号中的低频载波分量在接收端可以使用高通滤波器滤除, 除去低频载波分量, 令 $\tilde{f}_k = f_k - f_c = f_0 - f_c + k\Delta f = \tilde{f}_0 + k\Delta f$, $\tilde{\varphi}_k = \varphi_k - \varphi_0$, 则发送信号 $\tilde{s}(t)$ 是一个含有 N 路子载波且持续时间为 T 的 OFDM 信号, 可以表示为:

$$\tilde{s}(t) = \sum_{k=0}^{N-1} B_k \cos(2\pi\tilde{f}_k t + \tilde{\varphi}_k) = \text{Re} \left\{ \left[\sum_{k=0}^{N-1} B_k e^{j(2\pi k\Delta f t + \tilde{\varphi}_k)} g(t) \right] e^{j2\pi\tilde{f}_0 t} \right\}, t \in [0, T + T_g]$$

其中 T_g 为保护间隔长度, $g(t) = 1, t \in [0, T + T_g]$, 其他区间为 0。

基于机械天线阵实现 OFDM 调制时, 要求阵列数量必须是偶数, 阵列以两个天线为基本单位, 基本单位中的两天线由磁屏蔽层和旋转永磁体组成, 磁屏蔽层负责产生 OFDM 信号, 旋转永磁体负责产生低频载波信号, 工作时要求两永磁体旋转相位相差 $\pi/2$ 。磁屏蔽层上产生的信号决定了系统的子载波数量 N 和持续时间 T , OFDM 信号的载波频率与相位由磁屏蔽层和旋转永磁体共同决定。从信号产生角度, 旋转永磁体负责向外辐射低频电磁信号, 从信号调制角度, 旋转永磁体只对载波频率产生微小偏置, 不改变 OFDM 信号解调方法。

2、载波相位偏移带来的影响

机械天线发送 OFDM 信号需要两路正交载波信号, 做如下假设:

- (1) OFDM 子载波信号初始相位 $\varphi_k = 0$, 且两路天线的子载波严格正交;
- (2) 低频载波初始相位 $\varphi_k = 0$, 两路低频载波相位差为 $\frac{\pi}{2} + \Delta\varphi$ 。

则两路天线产生的发送信号可表示为:

$$\begin{cases} s_1(t) = \left[K + \sum_{k=0}^{N-1} B_k \cos(2\pi f_k t) \right] \cdot \cos(2\pi f_c t) \\ s_2(t) = \left[K + \sum_{k=0}^{N-1} B_k \sin(2\pi f_k t) \right] \cdot \sin(2\pi f_c t + \Delta\varphi) \end{cases}$$

机械天线发送的信号可表示为:

$$\begin{aligned} s(t) &= s_1(t) + s_2(t) \\ &= \left[K + \sum_{k=0}^{N-1} B_k \cos(2\pi f_k t) \right] \cdot \cos(2\pi f_c t) + \left[K + \sum_{k=0}^{N-1} B_k \sin(2\pi f_k t) \right] \cdot \sin(2\pi f_c t + \Delta\varphi) \end{aligned}$$

$$= \left[K + \sum_{k=0}^{N-1} B_k \cos(2\pi f_k t) \right] \cdot \cos(2\pi f_c t) + \left[K + \sum_{k=0}^{N-1} B_k \sin(2\pi f_k t) \right] \cdot \sin(2\pi f_c t) \cdot \cos(\Delta\varphi) \\ + \left[K + \sum_{k=0}^{N-1} B_k \sin(2\pi f_k t) \right] \cdot \cos(2\pi f_c t) \cdot \sin(\Delta\varphi)$$

当 $\Delta\varphi \rightarrow 0$ 时, $\cos(\Delta\varphi) \rightarrow 1$, $\sin(\Delta\varphi)$ 近似 $\Delta\varphi$, 则发送信号可近似表示为:

$$s(t) \approx \left[K + \sum_{k=0}^{N-1} B_k \cos(2\pi f_k t) \right] \cdot \cos(2\pi f_c t) + \left[K + \sum_{k=0}^{N-1} B_k \sin(2\pi f_k t) \right] \cdot \sin(2\pi f_c t) \\ + \left[K + \sum_{k=0}^{N-1} B_k \sin(2\pi f_k t) \right] \cdot \cos(2\pi f_c t) \cdot \Delta\varphi \\ = \sum_{k=0}^{N-1} B_k \cos[2\pi(f_k - f_c)t] + \sum_{k=0}^{N-1} B_k \sin(2\pi f_k t) \cdot \cos(2\pi f_c t) \cdot \Delta\varphi + K[(1 + \Delta\varphi) \cos(2\pi f_c t) + \sin(2\pi f_c t)]$$

除去低频载波分量后, 发送信号中还包含干扰信号, 干扰信号频谱和 OFDM 信号频谱高度重叠, 会严重破坏 OFDM 信号的正交性。

同理可得, 假设两路天线的 OFDM 子载波相位差为 $\frac{\pi}{2} + \Delta\theta$, 当 $\Delta\theta \rightarrow 0$, 发送信号可表示为:

$$s(t) = s_1(t) + s_2(t) \\ = \left[K + \sum_{k=0}^{N-1} B_k \cos(2\pi f_k t) \right] \cdot \cos(2\pi f_c t) + \left[K + \sum_{k=0}^{N-1} B_k \sin(2\pi f_k t + \Delta\theta) \right] \cdot \sin(2\pi f_c t) \\ = \left[K + \sum_{k=0}^{N-1} B_k \cos(2\pi f_k t) \right] \cdot \cos(2\pi f_c t) + \left[K + \sum_{k=0}^{N-1} B_k \sin(2\pi f_k t) \right] \cdot \sin(2\pi f_c t) \cdot \cos(\Delta\theta) \\ + \sum_{k=0}^{N-1} B_k \cos(2\pi f_k t) \cdot \sin(2\pi f_c t) \cdot \sin(\Delta\theta) \\ \approx \left[K + \sum_{k=0}^{N-1} B_k \cos(2\pi f_k t) \right] \cdot \cos(2\pi f_c t) + \left[K + \sum_{k=0}^{N-1} B_k \sin(2\pi f_k t) \right] \cdot \sin(2\pi f_c t) \\ + \sum_{k=0}^{N-1} B_k \cos(2\pi f_k t) \cdot \sin(2\pi f_c t) \cdot \Delta\theta \\ = \sum_{k=0}^{N-1} B_k \cos[2\pi(f_k - f_c)t] + \sum_{k=0}^{N-1} B_k \cos(2\pi f_k t) \cdot \sin(2\pi f_c t) \cdot \Delta\theta + K[\cos(2\pi f_c t) + \sin(2\pi f_c t)]$$

从公式中可得, 子载波相差同样会引入干扰项, 导致频谱混叠。

当 OFDM 子载波和低频载波同时存在相位差, 且相位差趋于 0 时, 发送信

号可表示为：

$$\begin{aligned}
s(t) &= s_1(t) + s_2(t) \\
&= \left[K + \sum_{k=0}^{N-1} B_k \cos(2\pi f_k t) \right] \cdot \cos(2\pi f_c t) + \left[K + \sum_{k=0}^{N-1} B_k \sin(2\pi f_k t + \Delta\theta) \right] \cdot \sin(2\pi f_c t + \Delta\varphi) \\
&= \left[K + \sum_{k=0}^{N-1} B_k \cos(2\pi f_k t) \right] \cdot \cos(2\pi f_c t) + \left[K + \sum_{k=0}^{N-1} B_k \sin(2\pi f_k t) \right] \cdot \sin(2\pi f_c t) \cdot \cos(\Delta\varphi) \cdot \cos(\Delta\theta) \\
&\quad + \sum_{k=0}^{N-1} B_k \cos(2\pi f_k t) \cdot \sin(2\pi f_c t) \cdot \sin(\Delta\theta) + \left[K + \sum_{k=0}^{N-1} B_k \sin(2\pi f_k t) \right] \cdot \cos(2\pi f_c t) \cdot \sin(\Delta\varphi) \cdot \cos(\Delta\theta) \\
&\approx \left[K + \sum_{k=0}^{N-1} B_k \cos(2\pi f_k t) \right] \cdot \cos(2\pi f_c t) + \left[K + \sum_{k=0}^{N-1} B_k \sin(2\pi f_k t) \right] \cdot \sin(2\pi f_c t) \\
&\quad + \sum_{k=0}^{N-1} B_k \cos(2\pi f_k t) \cdot \sin(2\pi f_c t) \cdot \Delta\theta + \left[K + \sum_{k=0}^{N-1} B_k \sin(2\pi f_k t) \right] \cdot \cos(2\pi f_c t) \cdot \Delta\varphi \\
&= \sum_{k=0}^{N-1} B_k \cos[2\pi(f_k - f_c)t] + K[(1 + \Delta\varphi) \cos(2\pi f_c t) + \sin(2\pi f_c t)] \\
&\quad + \sum_{k=0}^{N-1} B_k \sin(2\pi f_k t) \cdot \cos(2\pi f_c t) \cdot \Delta\varphi + \sum_{k=0}^{N-1} B_k \cos(2\pi f_k t) \cdot \sin(2\pi f_c t) \cdot \Delta\theta
\end{aligned}$$

当 $\Delta\varphi \approx -\Delta\theta$ 时有：

$$s(t) \approx \sum_{k=0}^{N-1} B_k \cos[2\pi(f_k - f_c)t] + \sum_{k=0}^{N-1} B_k \sin[2\pi(f_k - f_c)t] \cdot \Delta\varphi + K[(1 + \Delta\varphi) \cos(2\pi f_c t) + \sin(2\pi f_c t)]$$

当 $\Delta\varphi \approx \Delta\theta$ 时有：

$$s(t) \approx \sum_{k=0}^{N-1} B_k \cos[2\pi(f_k - f_c)t] + \sum_{k=0}^{N-1} B_k \sin[2\pi(f_k + f_c)t] \cdot \Delta\varphi + K[(1 + \Delta\varphi) \cos(2\pi f_c t) + \sin(2\pi f_c t)]$$

在相差无法避免时，如果可以控制子载波相差和低频载波相差满足互为相反数关系，则可以极大减小相差对 OFDM 信号正交性的破坏。如果两相差相近，反而会加剧频谱混叠，增强破坏效果。